

Time 6: Analyse i frekvensdomenet

Andreas Austeng@ifi.uio.no, INF3470

Institutt for informatikk, Universitetet i Oslo

Oktober 2009

Dagens temaer

Fra forrige gang

Frekvensrespons funksjonen

Fourier rekker og transformeer

Egenskaper til DT Fourier transform

LTI systemer som frekvens-selektive filtre

Tema

Fra forrige gang

z-transformasjonen

DTFT; Diskret tid Fourier transformasjon

z-transformasjonen

- ▶ Definisjon; formel + ROC
- ▶ Egenskaper
- ▶ Drøfte systemer vha z-transformen
- ▶ Invers z-transformasjon
- ▶ Poler og nullpunkter

Egenfunksjoner til et LTI system

- ▶ La

$$x[n] = e^{jn\Omega}, \quad -\infty < n < \infty, \quad \Omega \in [-\pi, \pi].$$

- ▶ Da er

$$\begin{aligned} y[n] &= h[n] * x[n] = \sum_{k=-\infty}^{\infty} h[k]x[n-k] \\ &= \sum_{k=-\infty}^{\infty} h[k]e^{jn\Omega(n-k)} = e^{jn\Omega} \sum_{k=-\infty}^{\infty} h[k]e^{-jk\Omega} \\ &= H(\Omega)e^{jn\Omega} = H(\Omega)x[n]. \end{aligned}$$

- ▶ dvs at egenfunksjonen til et LTI system er

$$x[n] = e^{jn\Omega}, \quad -\infty < n < \infty, \quad \Omega \in [-\pi, \pi].$$

- ▶ og egenverdien, benevnt $H(\Omega)$, er

$$H(\Omega) = \sum_{k=-\infty}^{\infty} h[k]e^{-jk\Omega}.$$

5

Diskret tid Fourier transform; DTFT

Notasjon:

- ▶ Analyse : $X(\Omega) \equiv \mathcal{F}\{x[n]\} = \sum_{n=-\infty}^{\infty} x[n]e^{-j\Omega n}$.
- ▶ Alternativt: $X(F) = \sum_{n=-\infty}^{\infty} x[n]e^{-j2\pi Fn}$.
- ▶ Syntese : $x[n] \equiv \mathcal{F}^{-1}\{X(\Omega)\} = \frac{1}{2\pi} \int_{2\pi} X(\Omega)e^{j\Omega n} d\Omega$.
- ▶ Alternativt: $x[n] = \int_{-1/2}^{1/2} X(F)e^{j2\pi nF} dF$.
- ▶ $x[n] \xleftrightarrow{\mathcal{F}} X(\Omega)$.

6

Tema

Frekvensrespons funksjonen

7

Frekvensresponen til LTI system

- ▶ Hvis inngangssignalet er en kompleks eksponensial $x[n] = Ae^{j\Phi}e^{j\Omega n}$, blir utgangssignalet

$$\begin{aligned} y[n] &= \sum_{k=-\infty}^{\infty} h[k]Ae^{j\Phi}e^{j\Omega(n-k)} \\ &= \left(\sum_{k=-\infty}^{\infty} h[k]e^{-j\Omega k} \right) Ae^{j\Phi}e^{j\Omega n} \\ &= H(\Omega)Ae^{j\Phi}e^{j\Omega n} \quad -\infty \leq n < \infty \end{aligned}$$

hvor

$$H(\Omega) = \sum_{k=-\infty}^{\infty} h(k)e^{-j\Omega k}.$$

- ▶ $H(w)$: Egenverdi til LTI system, $Ae^{j\Phi}e^{j\Omega n}$: Egenfunksjonen til LTI systems.
- ▶ $H(\Omega)$ og $h[n]$ er relatert på en unik måte.

8

$H(\Omega)$: Frekvensresponsen

- ▶ $H(\Omega) = \sum_{k=-\infty}^{\infty} h[k]e^{-jk\Omega}$.
- ▶ $H(\Omega)$ er en funksjon av frekvensvariabelen Ω .
- ▶ $H(\Omega)$ er, generelt, **en kompleks størrelse**, og kan skrives som:
 - ▶ Reell og imaginær del: $H(\Omega) = H_R(\Omega) + jH_I(\Omega)$ eller
 - ▶ Magnitude og fase: $H(\Omega) = |H(\Omega)|e^{j\Theta(\Omega)}$,
 - ▶ hvor $|H(\Omega)|^2 = H(\Omega)H^*(\Omega) = H_R^2(\Omega) + H_I^2(\Omega)$
 - ▶ og $\Theta(\Omega) = \tan^{-1} \frac{H_I(\Omega)}{H_R(\Omega)}$.
- ▶ Gruffeforsinkelsen (eller envelopeforsinkelsen) til H :

$$\tau_g(\Omega) = -\frac{d\Theta(\Omega)}{d\Omega}$$
 - ▶ http://en.wikipedia.org/wiki/Group_velocity/
- ▶ Periodisitet: Siden $x[n] = e^{jn\Omega_0} = e^{jn(\Omega_0+2\pi)}$, må vi ha at $H(\Omega_0) = H(\Omega_0 + 2\pi)$.

9

Example

Betrakt LTI-system med enhets step respon

$$h[n] = \alpha^n u[n], \quad \alpha \in \mathfrak{R}, \quad |\alpha| < 1.$$

Frekvensresponsen er da

$$\begin{aligned} H(\Omega) &= \sum_{k=-\infty}^{\infty} h[k]e^{-jk\Omega} = \sum_{k=0}^{\infty} \alpha^k e^{-jk\Omega} \\ &= \sum_{k=0}^{\infty} (\alpha e^{-j\Omega})^k = \frac{1}{1 - \alpha e^{-j\Omega}}. \end{aligned}$$

Kvadrert magnitide $H(\Omega)$ er

$$|H(\Omega)|^2 = \frac{1}{1 - \alpha e^{-j\Omega}} \cdot \frac{1}{1 - \alpha e^{j\Omega}} = \frac{1}{1 + \alpha^2 - 2\alpha \cos \Omega},$$

og faseresponsen er

$$\Theta(\Omega) = \tan^{-1} \frac{H_I(\Omega)}{H_R(\Omega)} = \tan^{-1} \frac{-\alpha \sin \Omega}{1 - \alpha \cos \Omega}.$$

Gruffeforsinkelsen er gitt som

$$\tau_g(\Omega) = -\frac{\alpha^2 - \alpha \cos \Omega}{1 + \alpha^2 - 2\alpha \cos \Omega}.$$

10

Tema

Fourier rekker og transformer

Kontinuerlig tid Fourier rekke og transform

Frekvens analyse av diskret tid periodiske signaler

11

Fourier rekker og transformer

- ▶ Mål: Utvikle et matematisk verktøy (et “prisme”) som dekomponerer signaler (“lys”) inn i sinus og cosinus komponenter (“farger”).
- ▶ Virere: Utvilke verktøyet (“det inverse prismet”) som syntetiserer et signal fra beskrivelser av dets frekvenskomponenter .

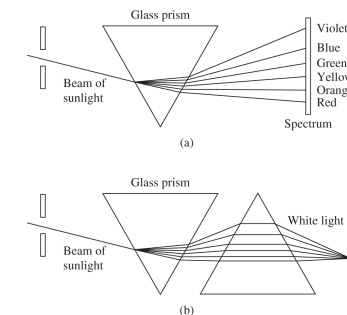


Figure 4.1.1 (a) Analysis and (b) synthesis of the white light (sunlight) using glass prisms.

12

De fire Fourier rekkene/transformasjonene

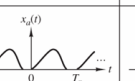
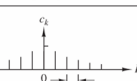
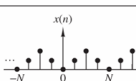
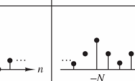
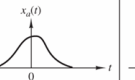
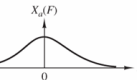
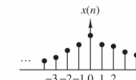
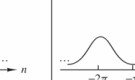
	Continuous-time signals		Discrete-time signals	
	Time-domain	Frequency-domain	Time-domain	Frequency-domain
Periodic signals Fourier series	 $c_k = \frac{1}{T_p} \int_{T_p} x_p(t) e^{-j2\pi k F t} dt$ $F_0 = \frac{1}{T_p}$	 $x_p(t) = \sum_{k=-\infty}^{\infty} c_k e^{j2\pi k F t}$	 $c_k = \frac{1}{N} \sum_{n=0}^{N-1} x(n) e^{-j2\pi n/N k}$	 $x(n) = \sum_{k=0}^{N-1} c_k e^{j2\pi n/N k}$
Continuous and periodic	Discrete and aperiodic	Discrete and periodic	Discrete and periodic	
Aperiodic signals Fourier transforms	 $X_a(F) = \int_{-\infty}^{\infty} x_a(t) e^{-j2\pi F t} dt$	 $x_a(t) = \int_{-\infty}^{\infty} X_a(F) e^{j2\pi F t} dF$	 $X(\omega) = \sum_{n=-\infty}^{\infty} x(n) e^{-j\omega n}$	 $x(n) = \frac{1}{2\pi} \int_{-\pi}^{\pi} X(\omega) e^{j\omega n} d\omega$
Continuous and aperiodic	Continuous and aperiodic	Discrete and aperiodic	Continuous and periodic	

Figure 4.3.1 Summary of analysis and synthesis formulas.

13

Kontinuerlig tid Fourier rekke og transform

- ▶ Fourier rekker: Dekomposisjon av signaler til sum av sinus/cosinus ledd (eller komplekse eksponensialer) → *frekvens domenet*.
- ▶ De aller fleste signaler av praktisk interesse kan dekomponeres i en sum av sinus/cosinus ledd.
 - ▶ Periodiske signaler: Fourier series.
 - ▶ Endelig energi signaler: Fourier transform.
- ▶ Viktig i analyse av LTI systemer:
 - ▶ Et LTI systems respons til en sinus/cosinus er en tilsvarende sinus/cosinus, men med en (kompleks) skalering.
 - ▶ Et LTI systems respons til en lineær sum av sinus/cosinus ledd er en tilsvarende sum av sinus/cosinus ledd med kun en mulig kompleks skalering av hvert ledd.

14

Fourier rekker til CT periodiske signaler

- ▶ Hvis $x(t)$ er et periodisk signal som tilfredstiller Dirichlet krav, så er
 - ▶ Syntese likn.: $x(t) = \sum_{k=-\infty}^{\infty} c_k e^{j2\pi k f_0 t}$.
 - ▶ Analyse likn.: $c_k = \frac{1}{T_p} \int_{T_p} x(t) e^{-j2\pi k f_0 t} dt$.
- ▶ Dirichlets krav:
 1. Signalet $x(t)$ har et endelig antall diskontinuiteter innenfor enhver periode.
 2. Signalet $x(t)$ innehar et endelig antall maks og min punkter innenfor enhver periode.
 3. Signalet $x(t)$ er absolutt integrerbar innefor enhver periode, dvs $\int_{T_p} |x(t)| dt < \infty$.
- ▶ I praksis vil alle periodiske signaler av interesse tilfredstille disse kravene.
- ▶ Andre periodiske signaler kan også ha en Fourier rekke representasjon.

15

Fourier transformasjonen til CT signaler

- ▶ Betrakt et aperiodisk signal $x(t)$ med endelig lengde.
- ▶ Konstruer et periodisk signal $x_p(t)$ med periode T_p .
- ▶ Da er $x(t) = \lim_{T_p \rightarrow \infty} x_p(t)$.

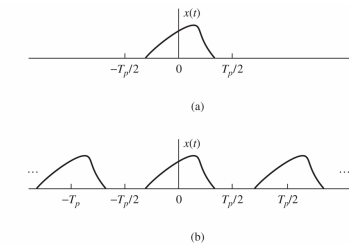


Figure 4.1.7 (a) Aperiodic signal $x(t)$ and (b) periodic signal $x_p(t)$ constructed by repeating $x(t)$ with a period T_p .

16

Fourier transformasjonen til CT signaler

- ▶ Hvis $x(t)$ er et aperiodisk signal som tilfredstiller the Dirichlet krav, så er
 - ▶ Syntese likn.: $x(t) = \int_{-\infty}^{\infty} X(f) e^{j2\pi ft} df$.
 - ▶ Analyse likn.: $X(f) = \int_{-\infty}^{\infty} x(t) e^{-j2\pi ft} dt$.
- ▶ Dirichlets krav:
 1. Signalet $x(t)$ har et endelig antall diskontinuiteter.
 2. Signal $x(t)$ innehar et endelig antall maks og min punkter.
 3. Signal $x(t)$ er absolutt integrerbart, dvs $\int_{-\infty}^{\infty} |x(t)| dt < \infty$.
- ▶ **Alle signaler av praktisk interesse tilfredstiller disse kravene.**

17

Diskret tid Fourier rekker.

- ▶ Gitt et signal $x[n]$ med periode N , dvs. $x[n] = x[n + N] \forall N$, da vil

$$x[n] = \sum_{k=0}^{N-1} c_k e^{j2\pi kn/N},$$
 hvor $\{c_k\}$ er Fourier koeffisienten i rekkeutviklingen.
- ▶ Fourier koeffisienter:

$$c_l = \frac{1}{N} \sum_{n=0}^{N-1} x[n] e^{-j2\pi ln/N}, \quad l = 0, 1, \dots, N-1.$$
- ▶ $\{c_k\}$ representerer amplitude og fase til frekvenskoeffisienten

$$s_k[n] = e^{j2\pi kn/N} = e^{j\Omega_k n}, \quad \Omega_k = 2\pi k/N.$$
- ▶ $\{c_k\}$ er periodisk med periode N .

18

Energitetthetsspekter av periodiske sekvenser

Gjennomsnittlig energi av et diskret tid periodisk signal:

$$P_x = \frac{1}{N} \sum_{n=0}^{N-1} |x[n]|^2 = \sum_{k=0}^{N-1} |c_k|^2.$$

Parseval's relasjon.

Fourier rekker av reelle diskrete periodiske signaler

- ▶ Hvis $x[n]$ er reell ($x^*[n] = x[n]$), så er
 - ▶ $c_k^* = c_{-k}$, eller også
 - ▶ Like symmetri: $|c_{-k}| = |c_k|$,
 - Ulike symmetri: $-\angle c_{-k} = \angle c_k$.
- ▶ Reelle signaler kan uttrykkes som

$$x[n] = c_0 + 2 \sum_{k=1}^L |c_k| \cos\left(\frac{2\pi}{N} kn + \theta_k\right)$$

$$= a_0 + \sum_{k=1}^L \left(a_k \cos\left(\frac{2\pi}{N} kn\right) - b_k \sin\left(\frac{2\pi}{N} kn\right) \right),$$
 hvor $a_0 = c_0$, $a_k = 2|c_k| \cos \theta_k$, $b_k = 2|c_k| \sin \theta_k$, og $L = N/2$ hvis N like og $L = (N-1)/2$ hvis N ulike.

19

Fourier transformasjonen til diskrete ikke-periodiske signaler.

- ▶ $X(\Omega) = \sum_{n=-\infty}^{\infty} x[n] e^{-j\Omega n}$.
 - ▶ $X(\Omega)$ representerer frekvensinnholdet i signalet $x[n]$, dvs.
 - ▶ $X(\Omega)$ er en dekomposisjon av $x[n]$ inn i sine frekvenskomponenter.
- ▶ Unik over frekvensintervallet $(-\pi, \pi)$, eller ekvivalent $(0, 2\pi)$.
- ▶ $X(\Omega)$ er periodisk med periode 2π .
- ▶ $x[n] = \frac{1}{2\pi} \int_{-\pi}^{\pi} X(\Omega) e^{j\Omega n} d\Omega$.

20

Fourier transformasjonen til diskrete ikke-periodisk signaler ...

- ▶ Konvergerer: $X_N(\Omega) = \sum_{n=-N}^N x[n]e^{-j\Omega n}$ konvergerer uniformt til $X(\Omega)$, dvs. $\lim_{N \rightarrow \infty} \{\sup_{\Omega} |X(\Omega) - X_N(\Omega)|\} = 0$.
 - ▶ Garantert hvis $x[n]$ er absolutt summerbar.
- ▶ Mulig med kvadratisk summerbare sekvenser hvis *mean-square* konvergenzkriterium er oppfylt.
- ▶ Energitetthetsspekter

$$E_x = \sum_{n=-\infty}^{\infty} |x[n]|^2 = \frac{1}{2\pi} \int_{-\pi}^{\pi} |X(\Omega)|^2 d\Omega.$$

21

Diskret tid Fourier transform; DTFT

Notasjon:

- ▶ Analysis : $X(\Omega) \equiv \mathcal{F}\{x[n]\} = \sum_{n=-\infty}^{\infty} x[n]e^{-j\Omega n}$.
- ▶ Alternativt: $X(F) = \sum_{n=-\infty}^{\infty} x[n]e^{-j2\pi Fn}$.
- ▶ Syntese : $x[n] \equiv \mathcal{F}^{-1}\{X(\Omega)\} = \frac{1}{2\pi} \int_{2\pi} X(\Omega)e^{j\Omega n} d\Omega$.
- ▶ Alternativt: $x[n] = \int_{-1/2}^{1/2} X(F)e^{j2\pi nF} dF$.
- ▶ $x[n] \xleftrightarrow{\mathcal{F}} X(\Omega)$.

22

Fra z-transf. til DTFT

- ▶ Finner $X(\Omega)$ ved å evaluere z-transformasjonen langs enhetssirkelen.
- ▶ $X(z) \equiv \mathcal{Z}\{x[n]\} = \sum_{n=-\infty}^{\infty} x[n]z^{-n}$
 - ▶ $z = Re^{j2\pi F}$. Lar $R = 1$ og får:

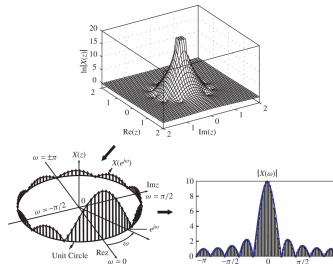


Figure 4.2.9 relationship between $X(z)$ and $X(\omega)$ for the sequence in Example 4.2.4, with $A = 1$ and $L = 10$

23

Tema

Egenskaper til DT Fourier transform

24

Egenskaper til DTFT

► Symmetri

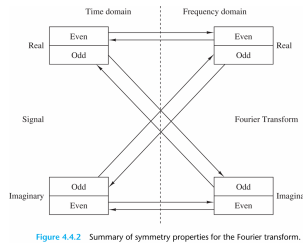


Figure 4.4.2 Summary of symmetry properties for the Fourier transform.

Reelle signaler $x[n]$ har konjugert symmetrisk $X(\Omega)$.

► Linearitet:

$$\mathcal{F}\{ax_1[n] + bx_2[n]\} = a\mathcal{F}\{x_1[n]\} + b\mathcal{F}\{x_2[n]\}.$$

► Shifting i tid:

$$\mathcal{F}\{x[n - k]\} = X(\Omega)e^{-j\Omega k}.$$

(dvs. frekvensinnhold avhenger **bare** av form.)

25

Egenskaper til DTFT ...

► Tidsreversering / Folding:

$$\mathcal{F}\{x[-n]\} = X(-\Omega)$$

(dvs. frekvensinnhold reelt signal ($X(-\Omega) = X^*(\Omega)$) avhenger **bare** av form.)

► Konjugering:

$$\mathcal{F}\{x^*[n]\} = X^*(-\Omega).$$

► Konvolusjon:

$$\mathcal{F}\{x_1[n] * x_2[n]\} = \mathcal{F}\{x_1[n]\}\mathcal{F}\{x_2[n]\} = X_1(\Omega)X_2(\Omega).$$

► Korrelasjon: $\mathcal{F}\{r_{x_1, x_2}\} = S_{x_1, x_2} = X_1(\Omega)X_2(-\Omega)$.

Kryss-korrelasjonstetthetsspektrum.

► Wiener-Khintchine teorem:

La $x[n]$ være et reelt signal. Da er

$$\mathcal{F}\{r_{xx}(l)\} = S_{xx}(\Omega) = X(\Omega)X(-\Omega) = X(\Omega)X^*(\Omega).$$

(Ingen faseinformasjon, dvs ikke unik!)

26

Egenskaper til DTFT ...

► Shifting i frekvens:

$$\mathcal{F}\{x[n]e^{j\Omega_0 n}\} = X(\Omega - \Omega_0).$$

Modulasjon:

$$\mathcal{F}\{x[n] \cos[\Omega_0 n]\} = \frac{1}{2}[X(\Omega + \Omega_0) + X(\Omega - \Omega_0)].$$

► Parseval's relasjon / Energi:

$$E_x = \sum_{n=-\infty}^{\infty} |x[n]|^2 = \frac{1}{2\pi} \int_{-\pi}^{\pi} |X(\Omega)|^2 d\Omega.$$

► Multiplikasjon:

$$\mathcal{F}\{x_1[n] \cdot x_2[n]\} = \mathcal{F}\{x_1[n]\} \circledast \mathcal{F}\{x_2[n]\} = \frac{1}{2\pi} \int X_1(\theta)X_2(\Omega - \theta)d\theta.$$

\circledast : *Periodic convolution.*

27

Sammenheng mellom system funksjon og frekvens respons

$$\mathbf{►} H(\Omega) = H(z)|_{z=e^{j\Omega}} = \sum_{n=-\infty}^{\infty} h[n]e^{-j\Omega n}$$

► Hvis $H(z)$ rasjonell,

$$H(\Omega) = \frac{B(\Omega)}{A(\Omega)} = \frac{\sum_{k=0}^M b_k e^{-j\Omega k}}{1 + \sum_{k=1}^N a_k e^{-j\Omega k}} = b_0 \frac{\prod_{k=1}^M (1 - z_k e^{-j\Omega})}{\prod_{k=1}^N (1 - p_k e^{-j\Omega})},$$

hvor $\{a_k\}$ og $\{b_k\}$ reelle, men $\{z_k\}$ og $\{p_k\}$ kan være komplekse.

► Magnitude kvadrert: $|H(\Omega)|^2 = H(\Omega)H^*(\Omega)$

► $H^*(\Omega)$ finnes ved å evaluere $H^*(1/z^*)$ på enhetssirkelen.

► Når $\{h[n]\}$ reell (= $\{a_k\}$ and $\{b_k\}$ reelle)

⇒ komplekse poler og nullpunkter opptrer i kompleks-konjugerte par

⇒ $H^*(1/z^*) = H(z^{-1})$, i.e. $H^*(\Omega) = H(-\Omega)$ og

$$|H(\Omega)|^2 = H(\Omega)H^*(\Omega) = H(\Omega)H(-\Omega) = H(z)H(z^{-1})|_{z=e^{j\Omega}}.$$

28

Tema

LTI systemer som frekvens-selektive filtre Ideell filterkarakteristikk & enkle filtre

Ideell filterkarakteristikk

- ▶ Ideelle filte har konstant magnitudetkarakteristikk.
 - ▶ Skal se på responskarakterstikk av **lavpass**, **høypass**, **båndpass**, **all-pass** og **båndstop** eller **bånd-eliminajons** filtre.
- ▶ Lineær faserespons
Ideelle filtre har lineær fase i passbåndet.
- ▶ I alle tilfeller: Ideelle filtre er ikke fysisk realiserbare!
- ▶ Design av enkle digitale filtre
 1. Basert på pol- og nullpunkt plassering.
 2. Alle poler innenfor enhetssirkelen (nullpkt hvor som helst).
 3. Komplekse poler/nullpkt. i komplekskonjugerte par.

Ideell filterkarakteristikk ...

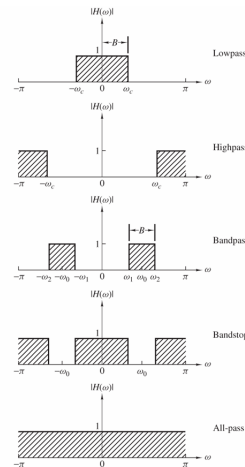


Figure 5.4.1 Magnitude responses for some ideal frequency-selective discrete-time filters.

Enkle filtre

- ▶ Lavpass
- ▶ Lavpass til høypass transformasjon
 $H_{hp}(\Omega) = H_p(\Omega - \pi)$, i.e.
 $h_{hp}[n] = (e^{j\pi})^n h_p[n] = (-1)^n h_p[n]$.
- ▶ Digitale resonatorer
- ▶ Notch filtre
- ▶ Kam filtre
- ▶ All-pass filtre

Lavpass and høypass filtre

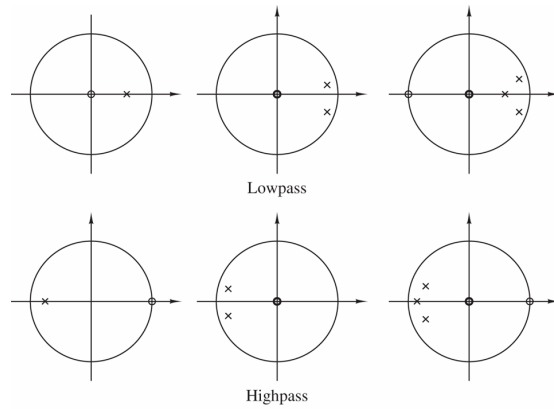


Figure 5.4.2 Pole-zero patterns for several lowpass and highpass filters.

33

Lavpass and høypass filtre ...

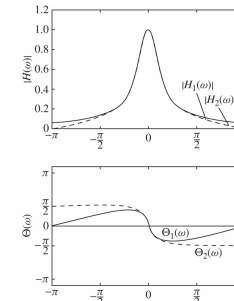


Figure 5.4.3 Magnitude and phase response of (1) a single-pole filter and (2) a one-pole, one-zero filter; $H_1(z) = (1-a)/(1-az^{-1})$, $H_2(z) = [(1-a)/2][(1+z^{-1})/(1-az^{-1})]$ and $a = 0.9$.

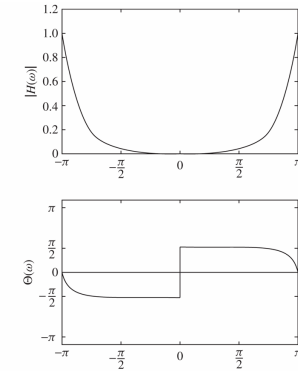


Figure 5.4.4 Magnitude and phase response of a simple highpass filter; $H(z) = [(1-a)/2][(1-z^{-1})/(1+az^{-1})]$ with $a = 0.9$.

34

Båndpass filter

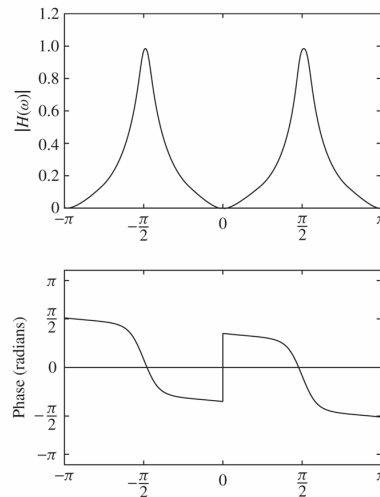


Figure 5.4.5 Magnitude and phase response of a simple bandpass filter in Example 5.4.2; $H(z) = 0.15[(1-z^{-2})/(1+0.7z^{-2})]$.

35

Digital resonator

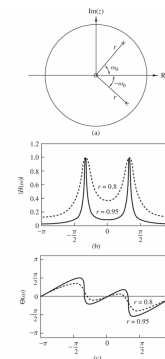


Figure 5.4.6 (a) Pole-zero pattern and (b) the corresponding magnitude and phase response of a digital resonator with zeros at $\omega = 0$ and $\omega = \pi$ and (1) $r = 0.8$ and (2) $r = 0.95$.

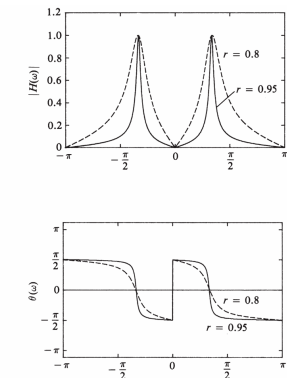


Figure 5.4.7 Magnitude and phase response of digital resonator with zeros at $\omega = 0$ and $\omega = \pi$ and (1) $r = 0.8$ and (2) $r = 0.95$.

36

Notch filter

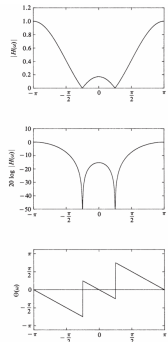


Figure 5.4.9 Frequency response characteristics of a notch filter with a notch at $\omega = \pi/4$ or $f = 1/8$; $H(z) = G[1 - 2 \cos \omega_0 z^{-1} + z^{-2}]$.

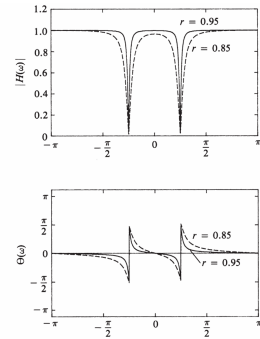


Figure 5.4.10 Frequency response characteristics of two notch filters with poles at (1) $r = 0.85$ and (2) $r = 0.95$;
 $H(z) = b_0[(1 - 2 \cos \omega_0 z^{-1} + z^{-2}) / (1 - 2r \cos \omega_0 z^{-1} + r^2 z^{-2})]$.

37

Kam filter

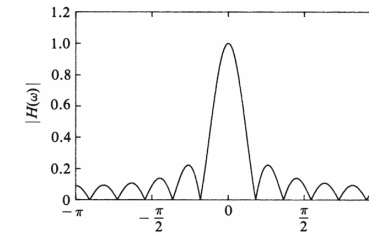


Figure 5.4.11 Magnitude response characteristic for the comb filter given by (5.4.34) with $M = 10$.

38

Allpass filter

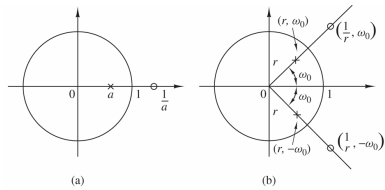


Figure 5.4.16 Pole-zero patterns of (a) a first-order and (b) a second-order all-pass filter.

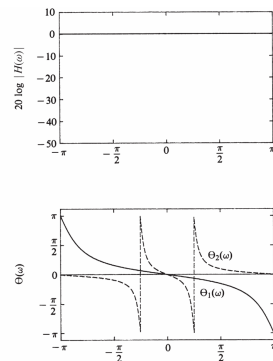


Figure 5.4.17 Frequency response characteristics of an all-pass filter with system functions (1) $H(z) = (0.6 + z^{-1}) / (1 + 0.6z^{-1})$,
(2) $H(z) = (r^2 - 2r \cos \omega_0 z^{-1} + z^{-2}) / (1 - 2r \cos \omega_0 z^{-1} + r^2 z^{-2})$, $r = 0.9$, $\omega_0 = \pi/4$.

39